

# $Z_3$ 対称性と符号問題

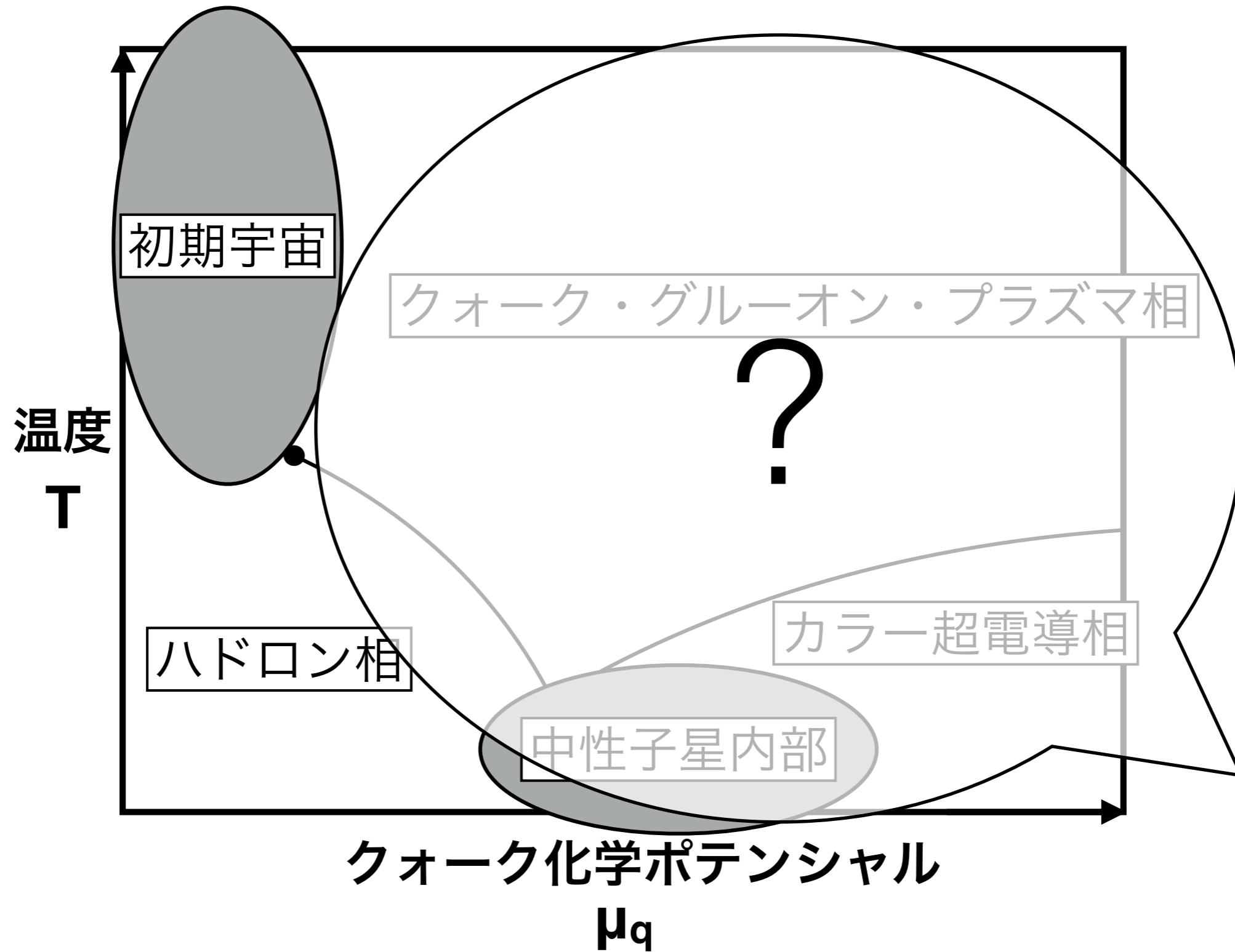
九州大学 理論核物理研究室

開田丈寛

共同研究：河野宏明(佐賀大)、高橋純一(JMA)、八尋正信

[Phys. Rev. D 94, 014011 (2016)]

# 1-1. QCD相図



# 1-2. 符号問題

✓ フェルミオン行列： $M(A_\mu, \mu) = \gamma_\mu^E (\partial_\mu - iA_\mu) + m + \mu\gamma_4^E$

$$\begin{aligned}\checkmark \{\det[M(A_\mu, \mu)]\}^* &= \det[M(A_\mu, \mu)^\dagger] \\ &= \det[M(A_\mu^\dagger, -\mu^*)] \\ &\neq \det[M(A_\mu, \mu)]\end{aligned}$$

✓ フェルミオン行列式は複素数→

Monte Carlo法による数値計算が困難になる

= “符号問題”

✓ 対処法... Taylor展開法、再重み法、

複素ランジュバン法、等々

# 1-3. $Z_3$ -QCD

- ✓ 厳密な中心対称性( $Z_3$ 対称性)を持つQCD-likeな理論

[H. Kouno, et al., Phys. Rev. D 93, 056009(2016)]

- ✓ Lagrangian密度...

$$\mathcal{L}_{Z_3\text{-QCD}} = \sum_{f=1}^{N_f} \bar{\psi}_f (\gamma_\nu D_\nu^\theta + m) \psi_f + \frac{1}{4g^2} F_{\mu\nu}^a{}^2$$

$$D_\nu^\theta = \partial_\nu - i(A_\nu + \hat{\theta} \delta_{\nu,4} T), \quad \hat{\theta} = \text{diag}(0, 2\pi/3, 4\pi/3)$$

- ✓ ゼロ温度極限において、QCDに一致

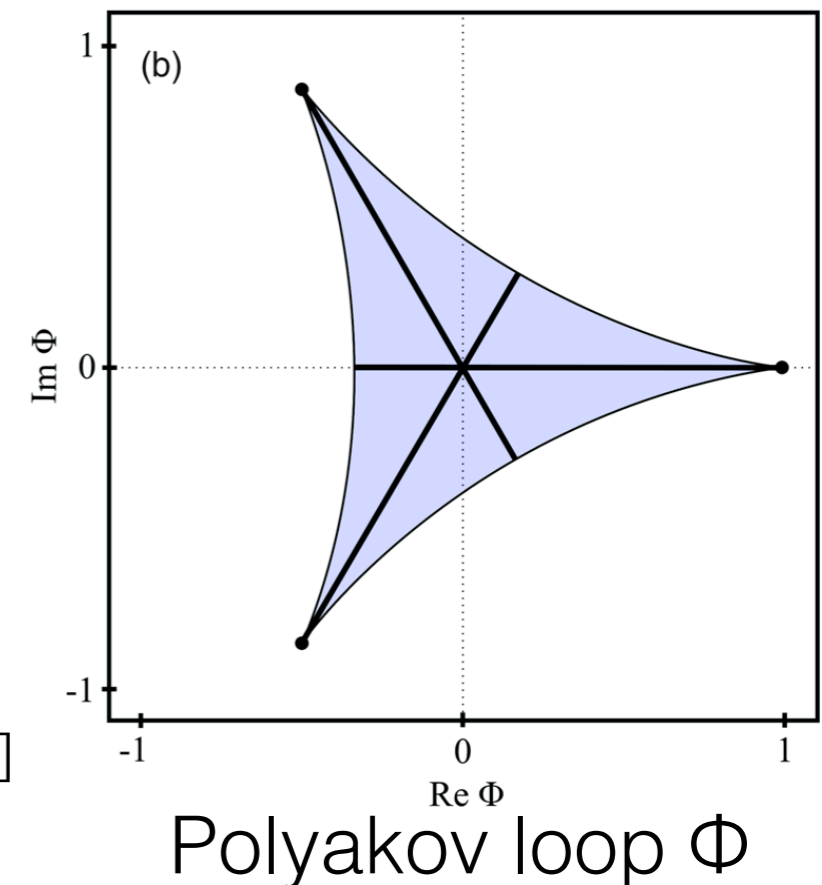
- ✓ 符号問題

...緩やかにすると期待される

- ✓  $\mu = 0$  ...  $Z_3$ -QCDの格子計算

→有効理論による予測と一致

[T. Iritani, et al., JHEP11(2015)159]



# 1-4. 研究目的

- ✓ QCDにおいて、 $Z_3$ 対称性と符号問題についての関係性を調べる
- ✓ 格子QCDによる数値計算では、  
計算コストが大きくなる
- ✓ QCDから導かれるとされる  
“3状態Potts模型(スピン模型)”を用いて計算
- ✓ 模型の $Z_3$ 対称化前と後で、符号問題の深刻さを比較

# 2-1. Potts模型

✓ QCD + 高温・強結合極限 → 3状態Potts模型

[T. A. DeGrand, and C. E. DeTar, Nucl. Phys. B225 (1983) 590-620 ]

$$Z_{\text{Potts}} = \int \mathcal{D}\phi \exp \left[ \kappa \sum_{\langle i,j \rangle} \delta(\phi_i, \phi_j) \right] \quad \{\phi\} = \{1, e^{\pm i2\pi/3}\}$$

“κ大 → 高温, κ小 → 低温”に対応

✓ QCDのstatic quark極限 ...

[S. Chandrasekharan, Nucl. Phys. (Proc. Suppl.) 94 (2001) 71-78]

$$Z = \int \mathcal{D}U \exp \left[ -S_G[U] + e^{-(M-\mu)/T} \Phi + e^{-(M+\mu)/T} \Phi^* \right]$$

$$\Phi = \int d^3x \text{tr} \left\{ \mathcal{P} \exp \left[ - \int_0^\beta dt A_4(\mathbf{x}, t) \right] \right\}$$

# 2-2. $Z_3$ 対称化したPotts模型

✓ Potts模型を $Z_3$ 対称化 ...

[J. Greensite, Phys. Rev. D 90, 114507(2014)]

$$Z = \int \mathcal{D}\phi e^{-S}$$

$$S = -\kappa \sum_{\langle i,j \rangle} \delta(\phi_i, \phi_j) - \sum_i \left\{ g_1 e^{-2M/T} |\phi_i|^2 + g_2 e^{-3(M-\mu)/T} (\phi_i)^3 + g_3 e^{-3(M+\mu)/T} (\phi_i^*)^3 \right\}$$

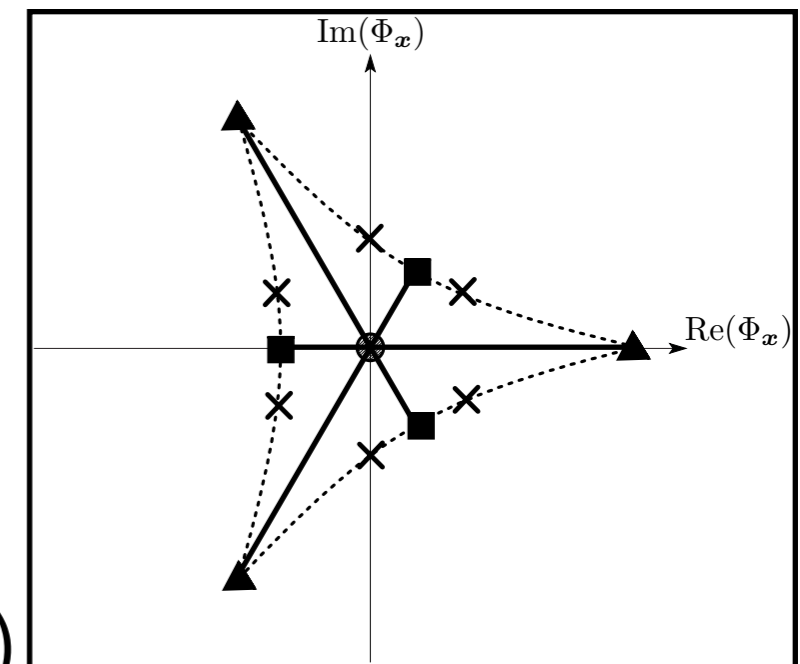
$$g_1 = g_2 = g_3 = 1$$

✓  $\{\phi\} = \{1, e^{\pm i2\pi/3}\}$ では

符号問題が起きない

→符号問題が起きるように

“意図的に” スピンを選ぶ(計13状態)

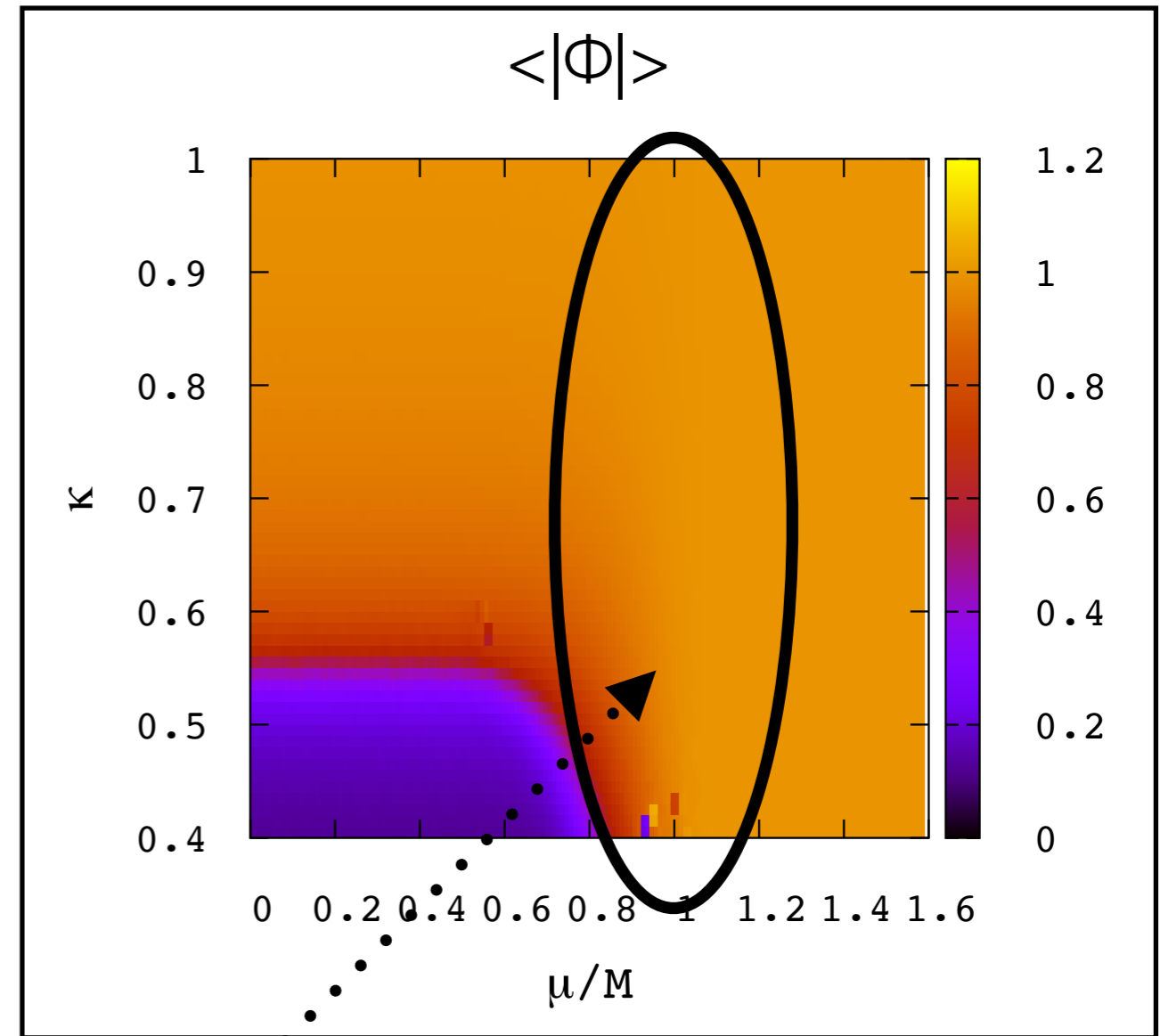
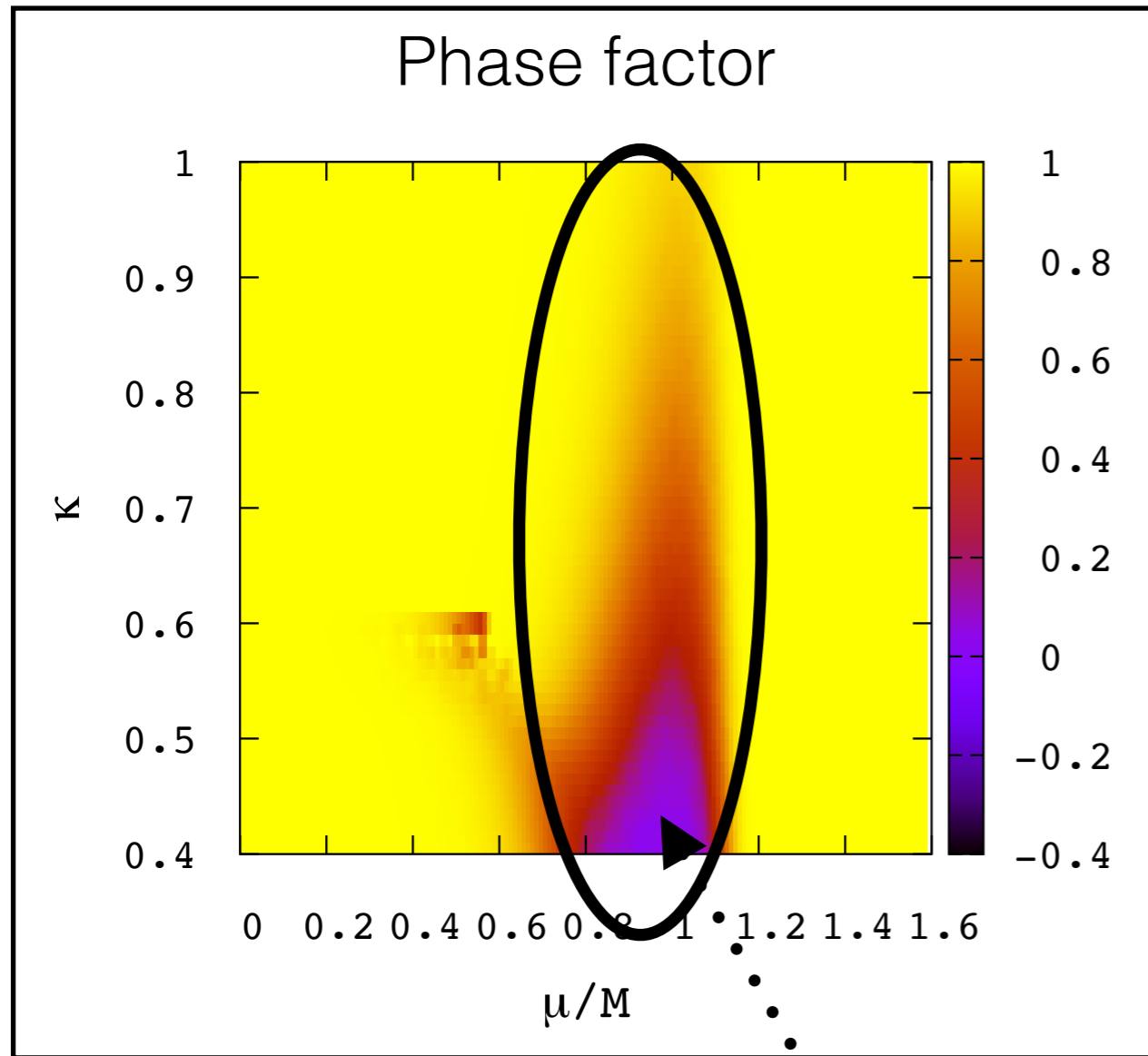


# 2-3. Setup, 測定量

- ✓ 体積 :  $6 * 6 * 6$  (スピン模型のため、空間方向のみ)
- ✓ パラメータ :  $0 \leq \mu/M \leq 1.6, 0.4 \leq \kappa \leq 1, M/T = 10$
- ✓ Order parameter :  $|\Phi| = \left| \frac{1}{V} \sum_i \phi_i \right|$  (Polyakov-loop like value)
- ✓ Phase factor :  $e^{-iS_I}, S_I = \text{Im}[S]$
- ✓ Reweighting  $\rightarrow \langle |\Phi| \rangle = \frac{\langle |\Phi| e^{-iS_I} \rangle}{\langle e^{-iS_I} \rangle}$

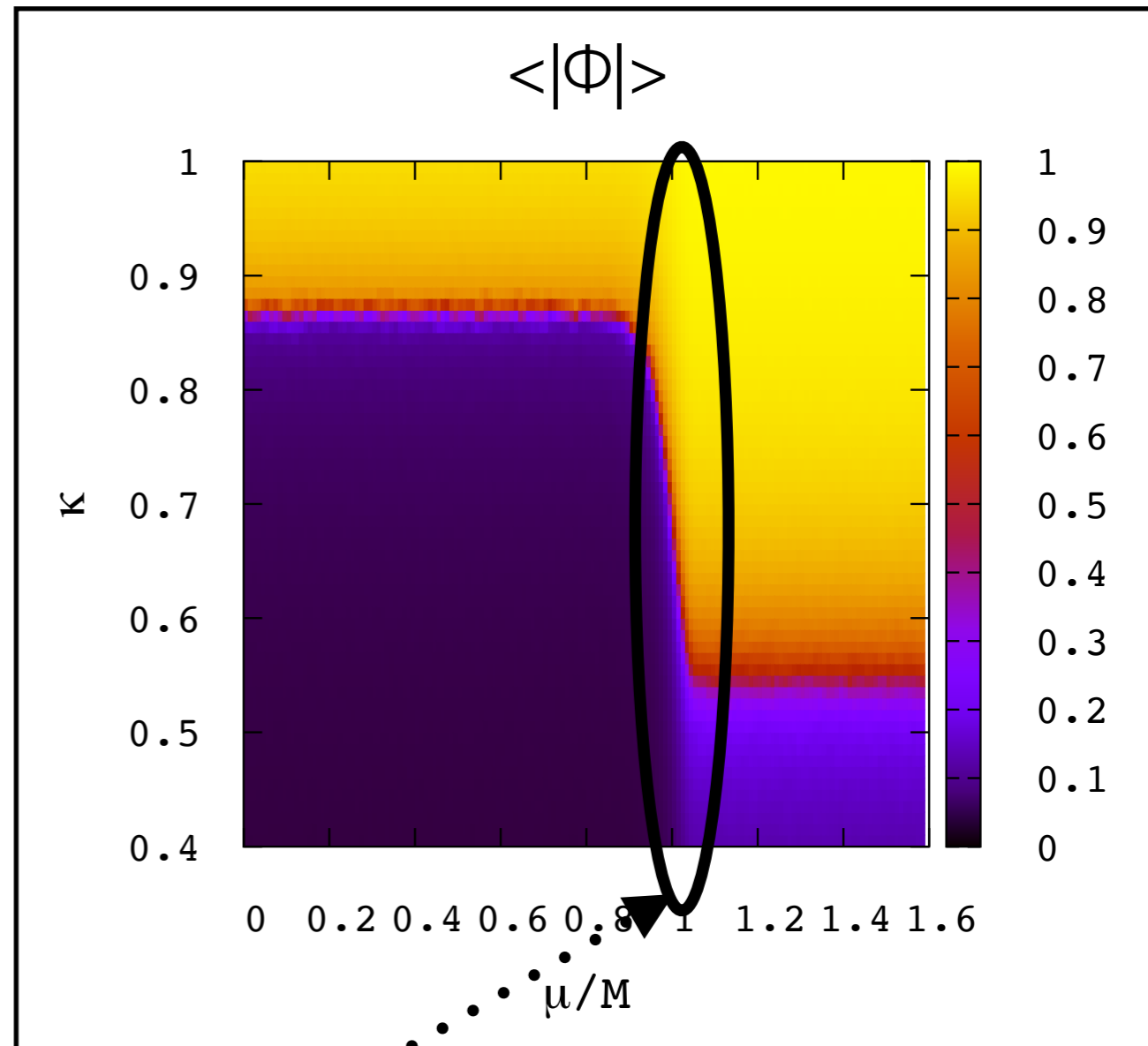
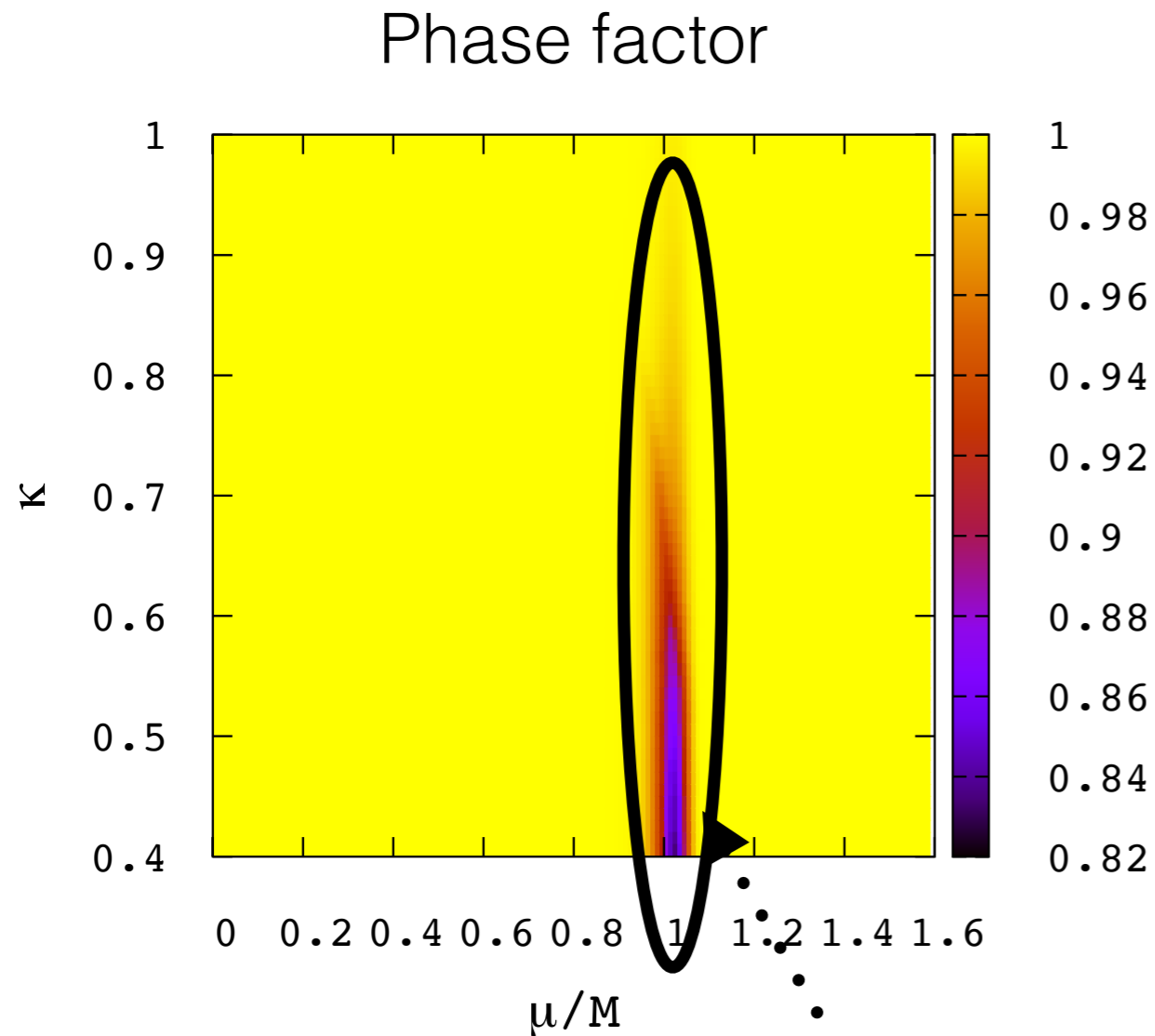


# 3-1. 結果： $Z_3$ 対称化前



符号問題が深刻な領域、秩序変数も1を超えるor負の値

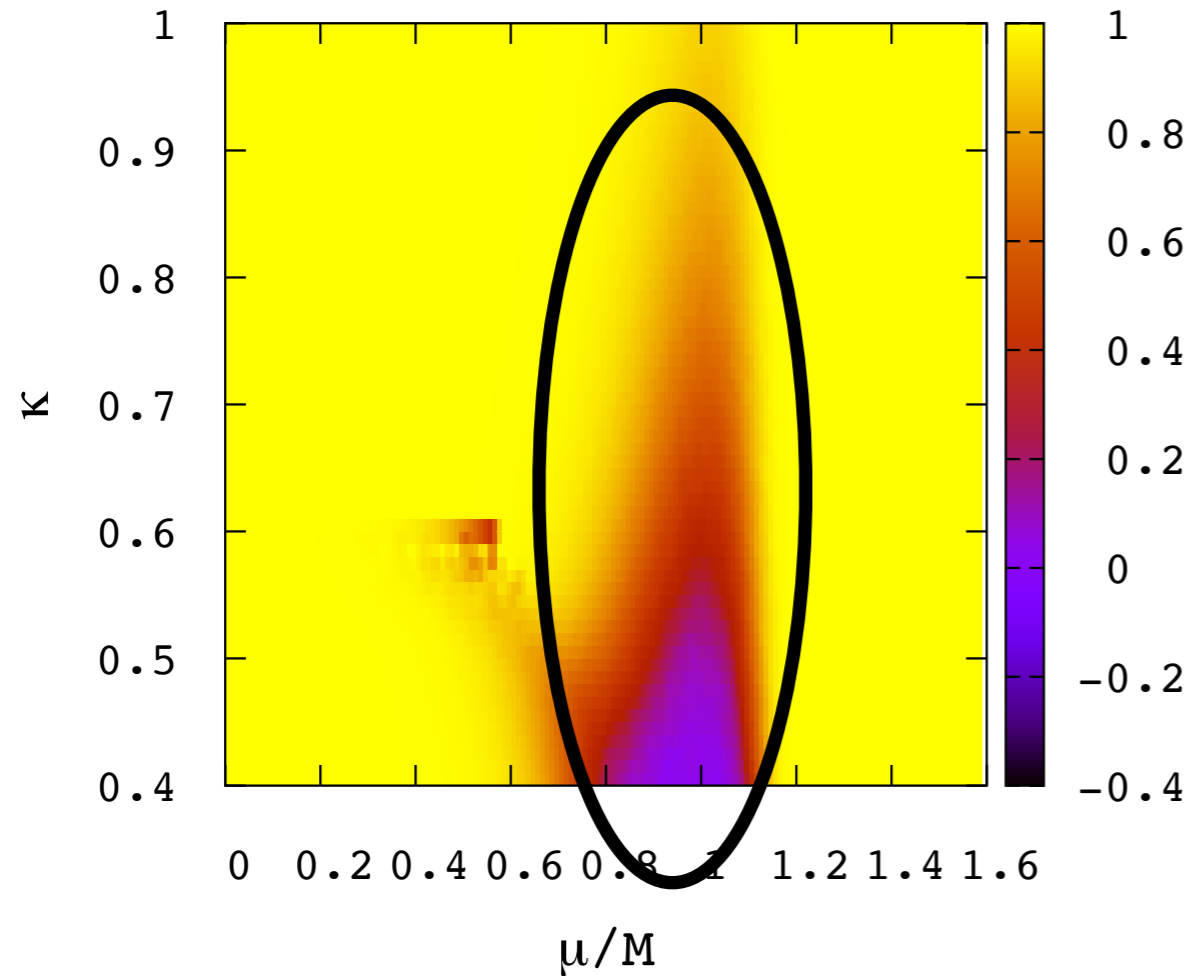
# 3-2. 結果： $Z_3$ 対称化後



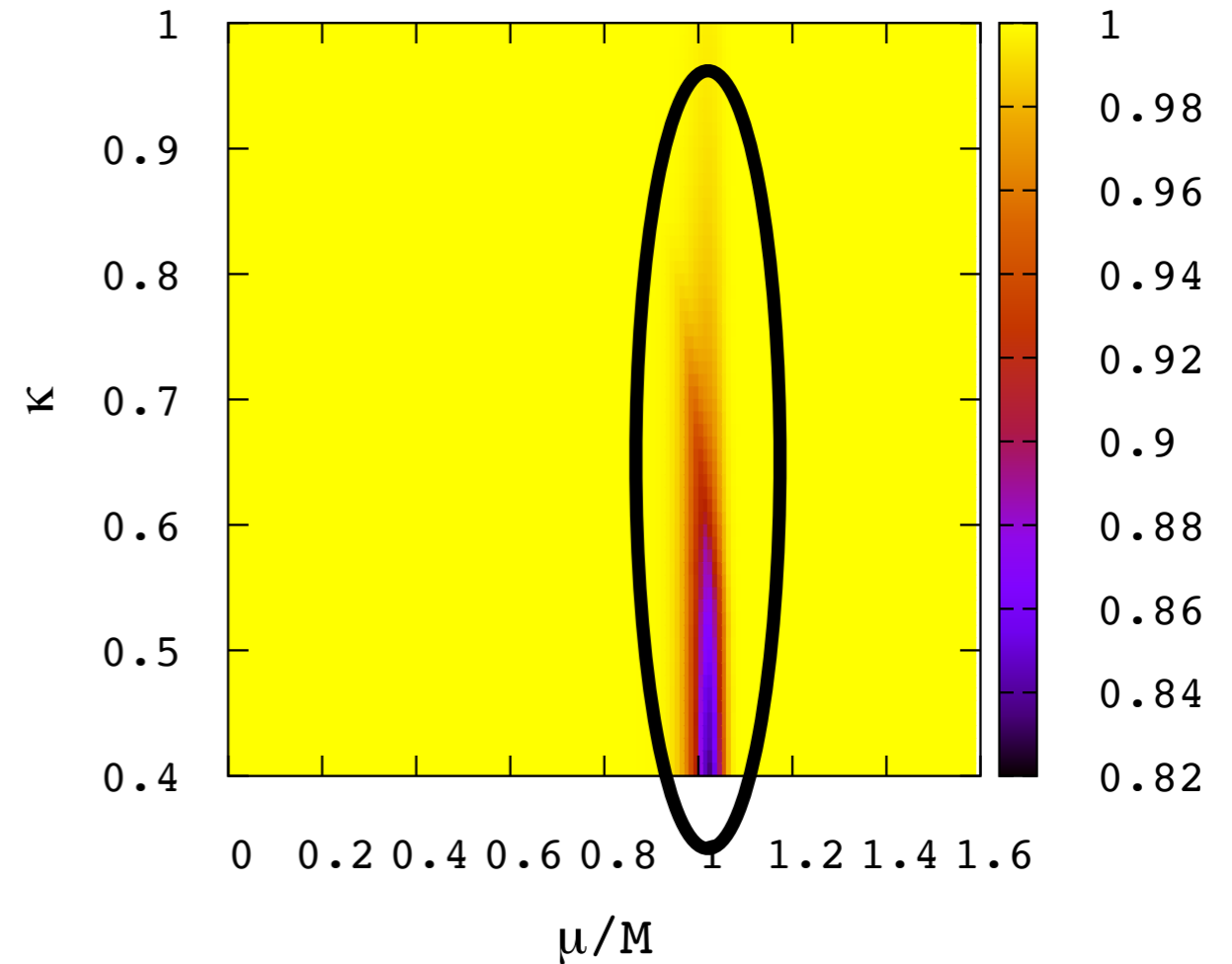
符号問題が深刻な領域、 $Z_3$ 対称化前よりは深刻でない

# 3-3. 結果：位相因子の比較

Z<sub>3</sub>対称化前



Z<sub>3</sub>対称化後



Z<sub>3</sub>対称化後のほうが、符号問題の深刻さが緩やか  
深刻な領域が劇的に小さくなった

# 4-1. まとめ

- ✓  $Z_3$ 対称性と符号問題の関係について解析した
- ✓ 計算コストの観点から、  
QCDから導かれる“3状態Potts模型”を用いた
- ✓  $Z_3$ 対称化を行ったモデルでは、通常モデルよりも符号問題が深刻でなくなることが示された

# 4-2. 今後

- ✓  $Z_3$ 対称化された模型の作用の形のもととなったもの  
= “effective Polyakov line model (PLM)”

[J. Greensite, Phys. Rev. D 90, 114507(2014)]

- ✓ この模型に $Z_3$ 対称化を行うと

閉じ込めと非閉じ込めは縮退する

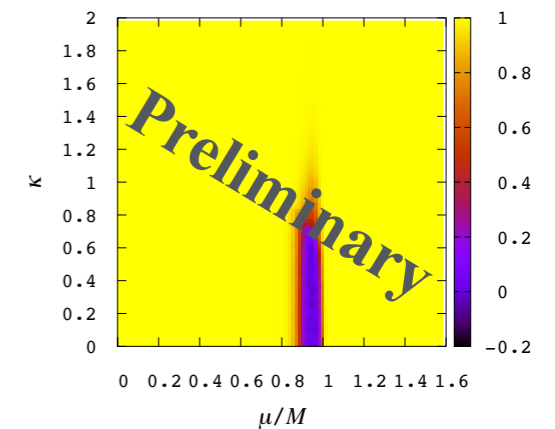
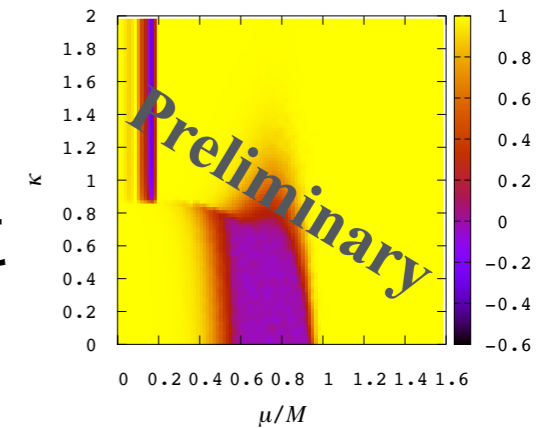
- ✓ (右図)上記の効果

$Z_3$ 対称化したPotts模型に取り入れた

- ✓ 動的変数がゲージ場からPolyakov lineに

→ Haar measure の効果が必要

- ✓ PLMによる $Z_3$ 対称化の計算を実行する

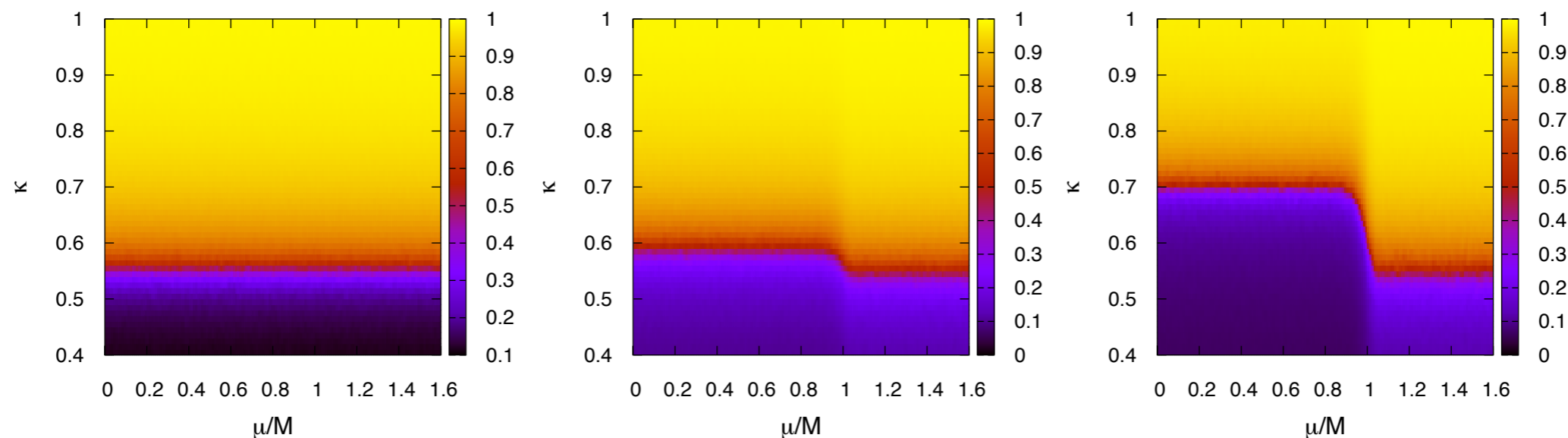


ご清聴ありがとうございました

# Backup

# Ex 0-1. $Z_3$ -Potts model

- ✓ Action ...  $S = -\kappa \sum_{\langle i,j \rangle} \delta(\phi_i, \phi_j) - \sum_i \left\{ e^{-2M/T} |\phi_i|^2 + e^{-3(M-\mu)/T} (\phi_i)^3 + e^{-3(M+\mu)/T} (\phi_i^*)^3 \right\}$
- ✓ Spin ...
  - ✓ 3 state :  $\{\phi\} = \{1, \exp[\pm i2\pi/3]\}$
  - ✓ 4 state :  $\{\phi\} = \{1, \exp[\pm i2\pi/3], 0\}$
  - ✓ 7 state :  $\{\phi\} = \{1, \exp[\pm i2\pi/3], 0, \frac{1}{3} \exp[\pm i\pi/3], -\frac{1}{3}\}$
- ✓ Results ... (left:3 state, center:4 state, right:7 state)





# Ex 0-2. Quark number density

✓ quark number density ...  $n_q = \frac{T}{V} \frac{\partial}{\partial \mu} \log Z$

✓ 3 stateの結果が“1”となるよう規格化

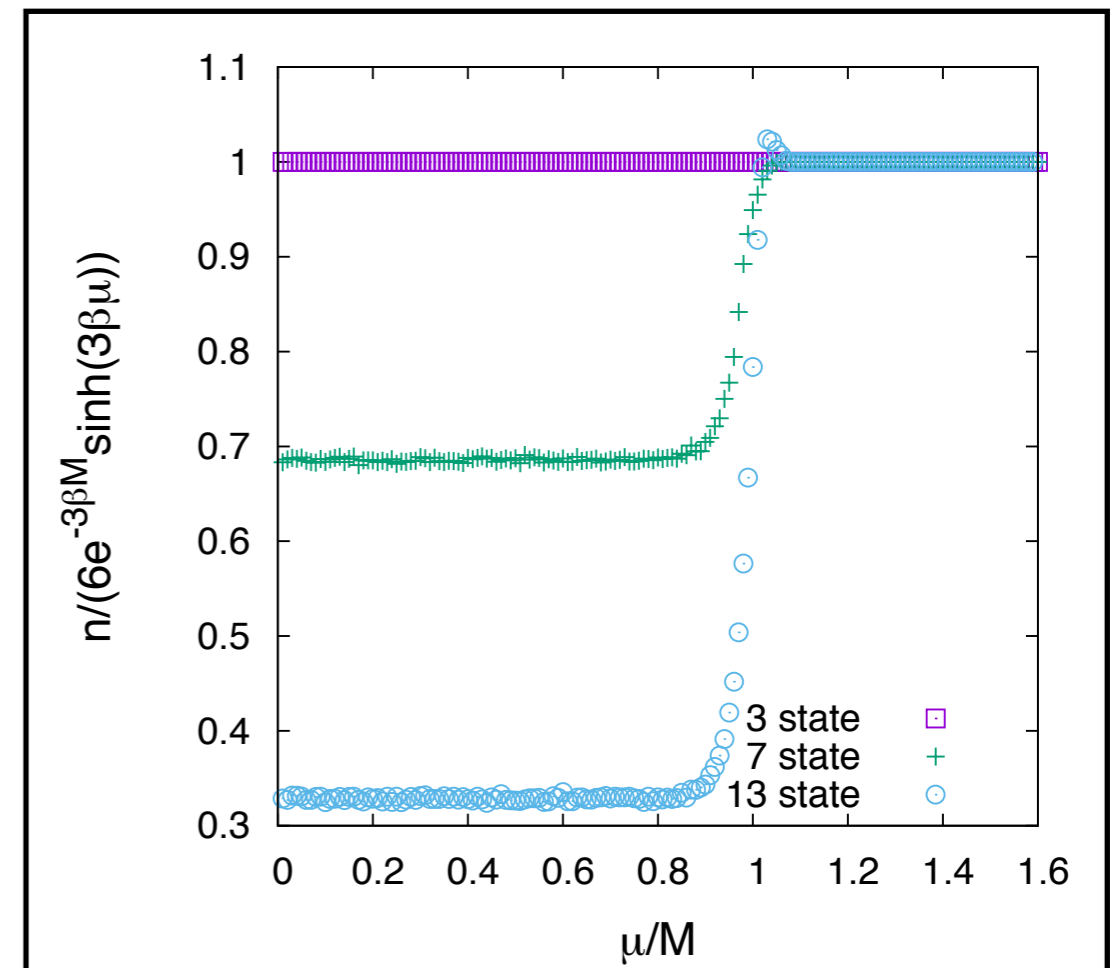
$$n_{3\text{-state}} = 6e^{-3M/T} \sinh(3\mu/T)$$

✓  $\kappa = 0.65$

✓ 3 state ... 常に1

✓ 7 state, 13 state ...  
 $\mu/M \sim 1$ で急激に増加

✓ partition function  $\sim 0$  (?)  
→ Lee-Yang zeros  
analysesが有効かも



# Ex 1. QCD $\rightarrow$ Potts model

✓ 格子QCDにおいて...

$N_t=1, \tau/a \ll 1$  (SU(3)の高温・強結合極限)

✓ 時間方向を含むプラケット...

$$U_{n,4i} = U_{(\mathbf{n},0),4i} = U_{(\mathbf{n},0)4} U_{(\mathbf{n},0)i} U_{(\mathbf{n}+\hat{i},0)4}^\dagger U_{(\mathbf{n},0)i}^\dagger$$

$$\downarrow U_{(\mathbf{n},0)4} = z_{\mathbf{n}} \quad (z_{\mathbf{n}} \in Z_3)$$

$$U_{(\mathbf{n},0),4i} = z_{\mathbf{n}} z_{\mathbf{n}+\hat{i}}^*$$

✓ ゲージ作用...

$$S_G = -\frac{1}{3} \sum_{\mathbf{n}} \left[ \frac{a}{\tau} \sum_{i=1}^3 \text{Re tr}(U_{n,4i}) + \frac{\tau}{a} \sum_{i < j} \text{Re tr}(U_{n,ij}) \right] \rightarrow -\frac{\beta a}{\tau} \sum_{\mathbf{n},i} \text{Re } z_{\mathbf{n}} z_{\mathbf{n}+\hat{i}}^*$$

[T. A. DeGrand, and C. E. DeTar, Nucl. Phys. B225 (1983) 590-620 ]

# Ex 2. Static quark limit

- ✓ Static Quark極限において、

$$Z = \int \mathcal{D}U \Phi e^{-S_G - m/T}, \quad \Phi : \text{Polyakov loop}$$

- ✓ quark数  $n$ 、 antiquark数  $\bar{n}$  ...

$$Z_{n,\bar{n}} = \int \mathcal{D}U \frac{\Phi^n}{n!} \frac{\Phi^{*\bar{n}}}{\bar{n}!} e^{-S_G[U] - m(n+\bar{n})/T}$$

- ✓ 化学ポテンシャル  $\mu \rightarrow$  Grand Canonical

$$\begin{aligned} Z &= \sum_{n,\bar{n}} Z_{n,\bar{n}} e^{\mu(n-\bar{n})/T} \\ &= \int \mathcal{D}U \exp \left[ -S_G[U] + e^{-(m-\mu)/T} \Phi + e^{-(m+\mu)/T} \Phi^* \right] \end{aligned}$$

[S. Chandrasekharan, Nucl. Phys. (Proc. Suppl.) 94 (2001) 71-78]

# Ex 3-1. $Z_3$ -QCD

- ✓ 時間方向...フレーバー依存の境界条件(FDBC)

$$\psi_f(\beta, \mathbf{x}) = e^{-i\theta_f} \psi_f(0, \mathbf{x})$$

- ✓  $\theta_1 = \theta, \theta_2 = -\theta, \theta_3 = 0 \rightarrow \theta = 0$  でQCDに一致

- ✓  $\theta = \frac{2\pi}{3} \rightarrow Z_3$ -QCD

- ✓  $\theta_f$ による変換  $\psi_f \rightarrow \exp[-i\theta_f T\tau]\psi_f$  により、

Lagrangian密度が大きく変わらないように再定義

$$\rightarrow \mathcal{L}_{Z_3\text{-QCD}} = \sum_{f=1}^{N_f} \bar{\psi}_f (\gamma_\nu D_\nu^\theta + m) \psi_f + \frac{1}{4g^2} F_{\mu\nu}^a{}^2$$

$$D_\nu^\theta = \partial_\nu - i(A_\nu + \hat{\theta}\delta_{\nu,4}T), \quad \hat{\theta} = \text{diag}(0, 2\pi/3, 4\pi/3)$$

# Ex 3-2. $Z_3$ 対称化の手続き

✓ 模型の $Z_3$ 対称化 ... [H. Kouno, et al., Phys. Rev. D 93, 056009(2016)]

1. 化学ポテンシャル $\mu$ をフレーバー依存の形へ

$$\mu_f \rightarrow \mu'_f = \mu_f + i\theta_f \quad \theta_f = \{0, 2\pi/3, -2\pi/3\}$$

2. クォークの寄与を、

フレーバーについて和をとる (作用)

$$S_q = \sum_{f=u,d,s} S_f(\mu_f)$$

✓ フレーバー依存の化学ポテンシャルが、模型全体の $Z_3$ 対称化に寄与する

# Ex 4-1. effective Polyakov line model

- ✓ Action of the underlying SU(3) gauge theory  $S_L$   
 $\rightarrow$  effective Polyakov line action (PLA)  $S_P$

$$\exp[S_P] = \int \mathcal{D}U_0 \mathcal{D}U_k \mathcal{D}\phi \left\{ \prod_{\mathbf{x}} \delta[U_{\mathbf{x}} - U_0(\mathbf{x}, 0)] \right\} \exp[S_L]$$

- ✓ heavy quark model ...

$$\exp[S_P] = \prod_{\mathbf{x}} \det[1 + h e^{\mu/T} U_{\mathbf{x}}]^P \det[1 + h e^{-\mu/T} U_{\mathbf{x}}^\dagger]^P \exp[S_P^0]$$

$$\det[1 + h e^{\mu/T} U_{\mathbf{x}}] = 1 + h e^{\mu/T} \text{tr}[U_{\mathbf{x}}] + h^2 e^{2\mu/T} \text{tr}[U_{\mathbf{x}}^\dagger] + h^3 e^{3\mu/T}$$

$$\det[1 + h e^{-\mu/T} U_{\mathbf{x}}^\dagger] = 1 + h e^{-\mu/T} \text{tr}[U_{\mathbf{x}}^\dagger] + h^2 e^{-2\mu/T} \text{tr}[U_{\mathbf{x}}] + h^3 e^{-3\mu/T}$$

$$\begin{aligned} \therefore S_P &= S_P^0 + 2N_f \sum_{\mathbf{x}} \left\{ \log[1 + h e^{\mu/T} \text{tr}[U_{\mathbf{x}}] + h^2 e^{2\mu/T} \text{tr}[U_{\mathbf{x}}^\dagger] + h^3 e^{3\mu/T}] \right. \\ &\quad \left. + \log[1 + h e^{-\mu/T} \text{tr}[U_{\mathbf{x}}^\dagger] + h^2 e^{-2\mu/T} \text{tr}[U_{\mathbf{x}}] + h^3 e^{-3\mu/T}] \right\} \end{aligned}$$

# Ex 4-2. effective Polyakov line model

✓ Z3 symmetrize PLA ...

$$\begin{aligned} \therefore S_P &= S_P^0 + 2 \sum_{\mathbf{x}} \left\{ \log \left[ 1 + 3h e^{3\mu/T} L_{\mathbf{x}} + 3h^2 e^{6\mu/T} L_{\mathbf{x}}^* + h^3 e^{9\mu/T} \right] \right. \\ &\quad \left. + \log \left[ 1 + 3h e^{-3\mu/T} L_{\mathbf{x}}^* + 3h^2 e^{-6\mu/T} L_{\mathbf{x}} + h^3 e^{-9\mu/T} \right] \right\} \end{aligned}$$

$$P_{\mathbf{x}} = \frac{1}{3} \text{tr}[U_{\mathbf{x}}], \quad L_{\mathbf{x}} = 9(P_{\mathbf{x}}^3 - P_{\mathbf{x}} P_{\mathbf{x}}^*) + 1$$

✓  $L_{\mathbf{x}}$ について、

閉じ込め :  $P_{\mathbf{x}} = 0$

非閉じ込め :  $P_{\mathbf{x}} = 1, \exp[\pm i2\pi/3] \in Z_3$

は縮退する

# Ex 5. Haar measure

✓ Partition function ...  $Z = \int \mathcal{D}U e^{S[U]}$

✓ PLA ... dynamical variables :  $(\theta_1(\mathbf{x}), \theta_2(\mathbf{x}))$

$$\text{tr}[U_{\mathbf{x}}] = e^{i\theta_1(\mathbf{x})} + e^{i\theta_2(\mathbf{x})} + e^{-i(\theta_1(\mathbf{x})+\theta_2(\mathbf{x}))}$$

✓ Partition function for PLA ...

$$Z_{\text{PLA}} = \int \mathcal{D}\theta_1 \mathcal{D}\theta_2 \left\{ \prod_{\mathbf{x}} H(\theta_1(\mathbf{x}), \theta_2(\mathbf{x})) \right\} \exp[S_P]$$

$$H(\theta) = \sin^2 \left( \frac{\theta_1(\mathbf{x}) - \theta_2(\mathbf{x})}{2} \right) \sin^2 \left( \frac{2\theta_1(\mathbf{x}) + \theta_2(\mathbf{x})}{2} \right) \sin^2 \left( \frac{\theta_1(\mathbf{x}) + 2\theta_2(\mathbf{x})}{2} \right)$$